

ANEXO B – ENSAIOS REOLÓGICOS DAS ANÁLISES DO CAPÍTULO 5

Avaliação da influência do teor de água inicial na determinação do teor ótimo de dispersante – item 5.3.2. Ensaio sobre a pasta "a", 100% CPV1, alterando-se a relação a/s para 0,375 e 0,50 – Figuras 1 e 2.

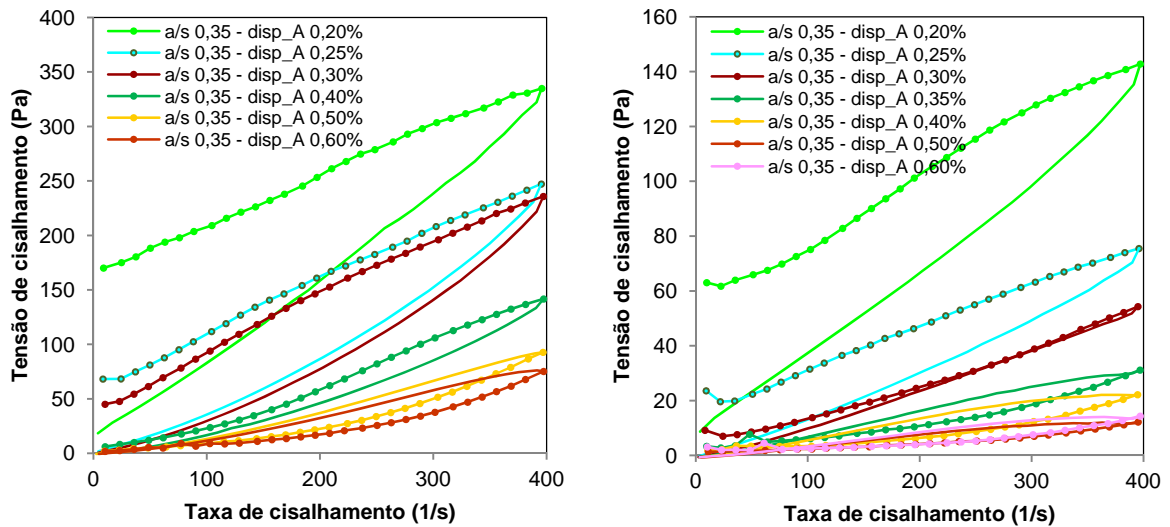


Figura 1 – Taxa de cisalhamento \times tensão de cisalhamento, pasta "a" (100% CPV1), para: a) $a/s = 0,375$; b) $a/s = 0,50$.

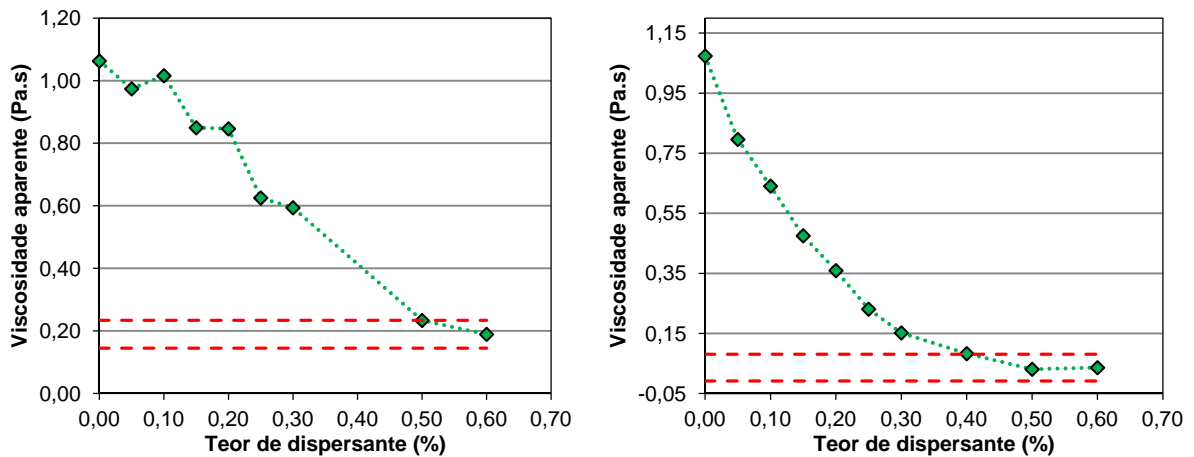


Figura 2 – Teor de dispersante *versus* viscosidade aparente, pasta "a" (100% CPV1), para: a) $a/s = 0,375$; b) $a/s = 0,50$.

Curvas reológicas para determinação do teor ótimo de dispersante para as misturas "b" a "j" – item 5.3.2 – Figuras 3 a 11.

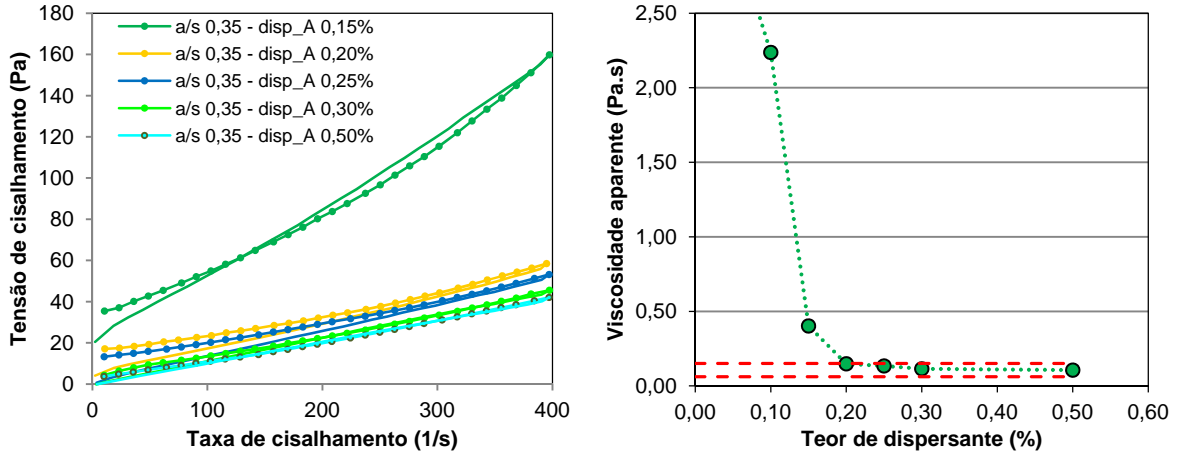


Figura 3 – Resultados de reologia da pasta "b" (100% Filler Ca1), a/s=0,35: a) taxa de cisalhamento versus tensão de cisalhamento; b) teor de dispersante versus viscosidade aparente.

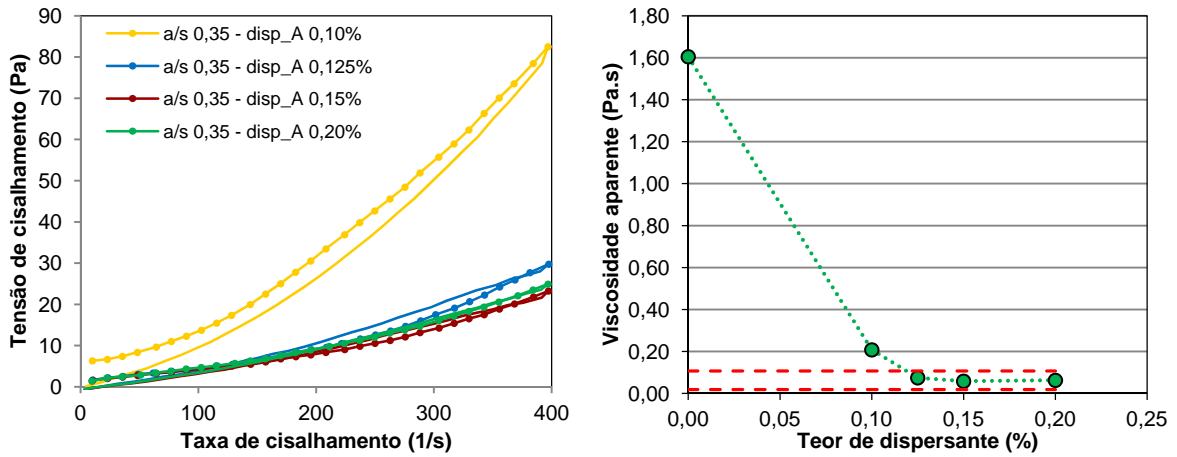


Figura 4 – Resultados de reologia da pasta "c" (100% Filler Ca5), a/s=0,35: a) taxa de cisalhamento versus tensão de cisalhamento; b) teor de dispersante versus viscosidade aparente.

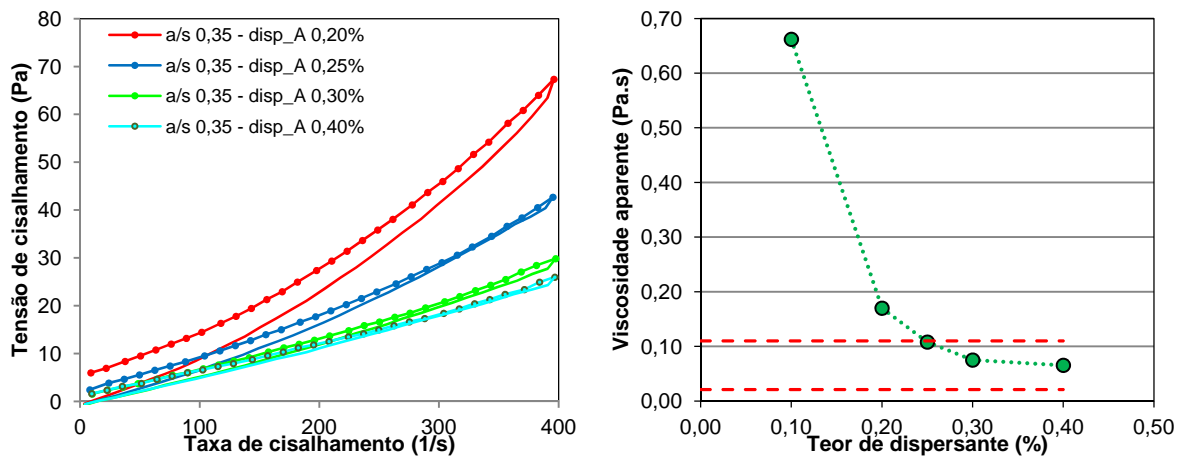


Figura 5 – Resultados de reologia da pasta "d" (25% CPV1 + 75% Filler Ca1), a/s=0,35: a) taxa de cisalhamento versus tensão de cisalhamento; b) teor de dispersante versus viscosidade aparente.

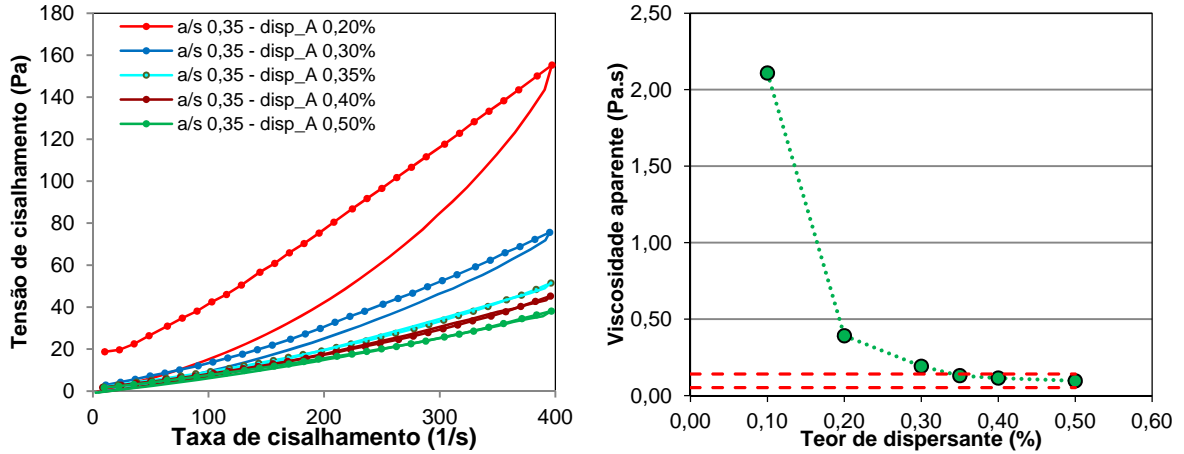


Figura 6 – Resultados de reologia da pasta "e" (50% CPV1 + 50% Filler Ca1), a/s=0,35: a) taxa de cisalhamento versus tensão de cisalhamento; b) teor de dispersante versus viscosidade aparente.

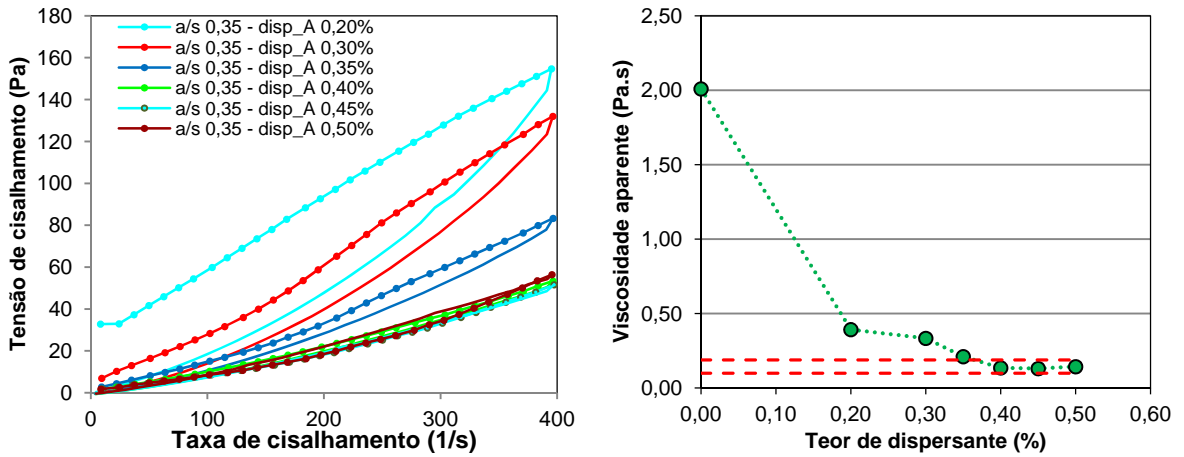


Figura 7 – Resultados de reologia da pasta "f" (75% CPV1 + 25% Filler Ca1), a/s=0,35: a) taxa de cisalhamento versus tensão de cisalhamento; b) teor de dispersante versus viscosidade aparente.

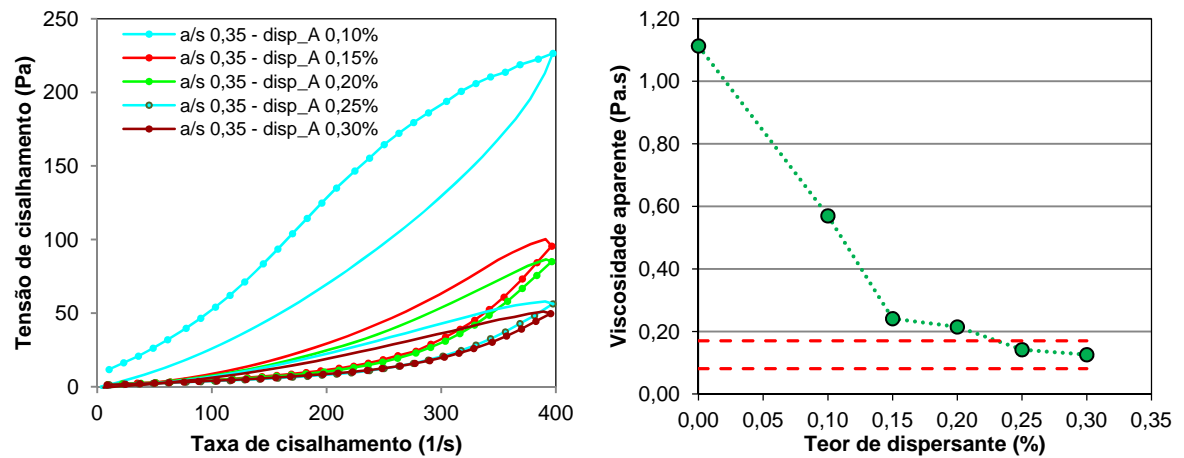


Figura 8 – Resultados de reologia da pasta "g" (25% CPV1 + 75% Filler Ca5), a/s=0,35: a) taxa de cisalhamento versus tensão de cisalhamento; b) teor de dispersante versus viscosidade aparente.

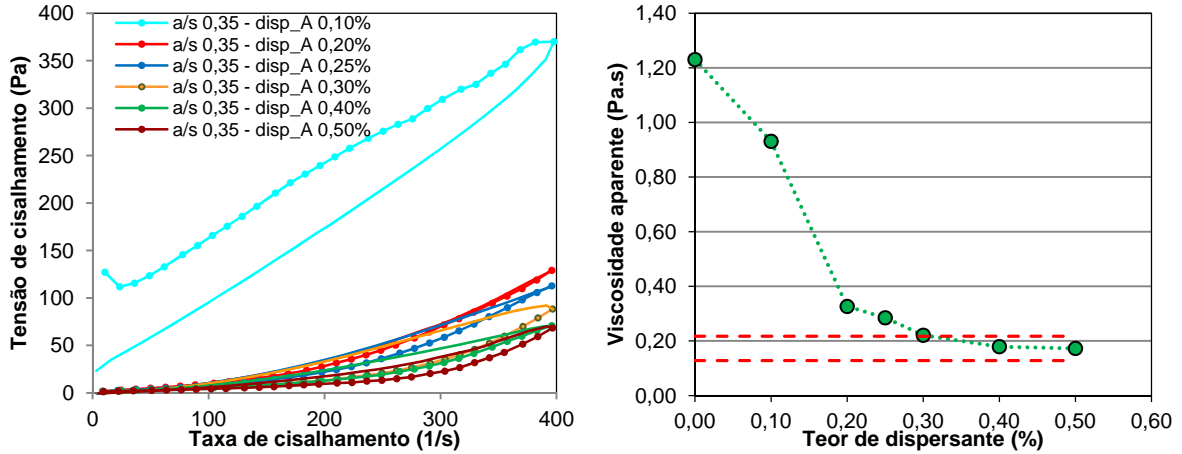


Figura 9 – Resultados de reologia da pasta "h" (50% CPV1 + 50% Filler Ca5), a/s=0,35: a) taxa de cisalhamento versus tensão de cisalhamento; b) teor de dispersante versus viscosidade aparente.

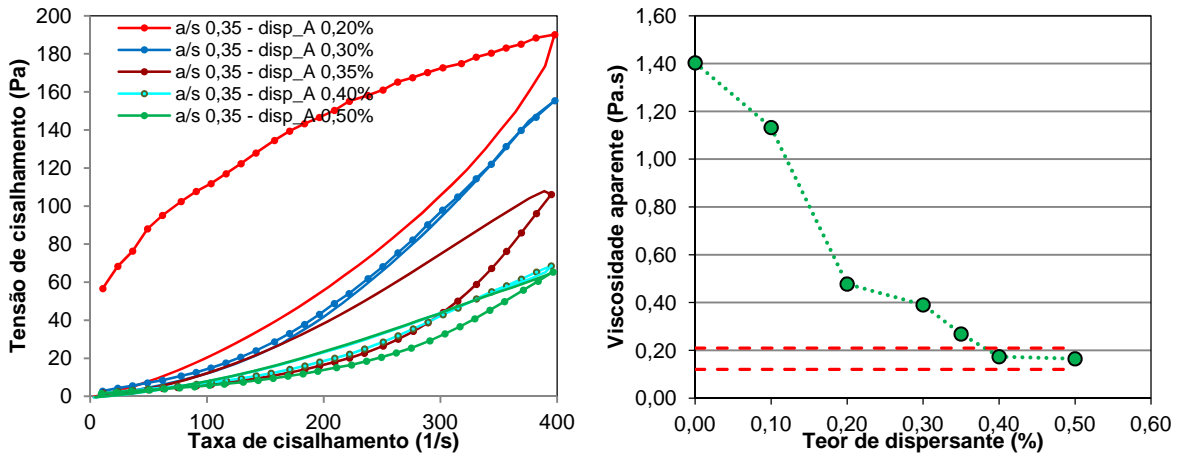


Figura 10 – Resultados de reologia da pasta "i" (75% CPV1 + 25% Filler Ca5), a/s=0,35: a) taxa de cisalhamento versus tensão de cisalhamento; b) teor de dispersante versus viscosidade aparente.

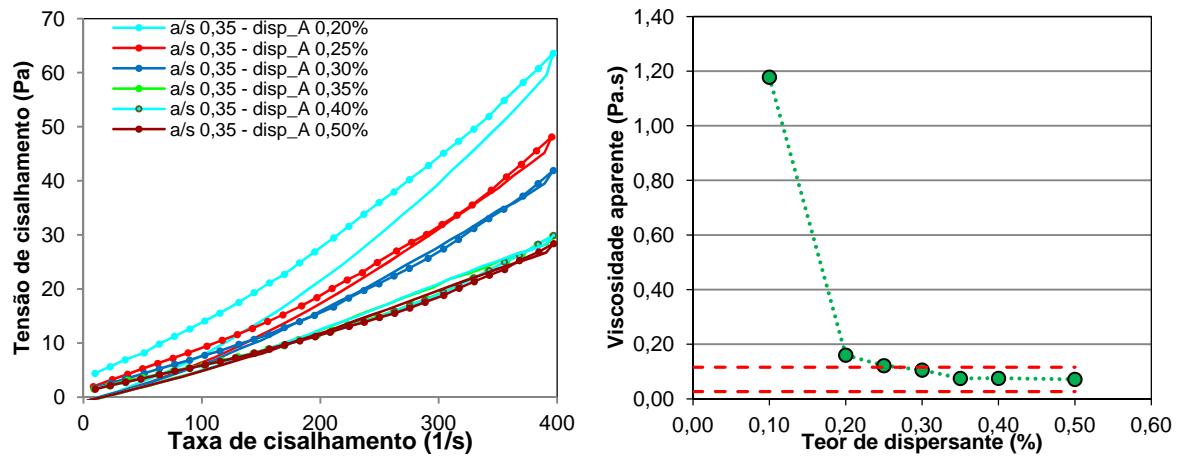


Figura 11 – Resultados de reologia da pasta "j" (40% CPV1 + 40% Filler Ca1 + 20% Filler Ca5), a/s=0,35: a) taxa de cisalhamento versus tensão de cisalhamento; b) teor de dispersante versus viscosidade aparente.

Curvas reológicas para determinação do teor ótimo de dispersante para o Microfiller Si

Si – item 5.3.3 – Figura 12.

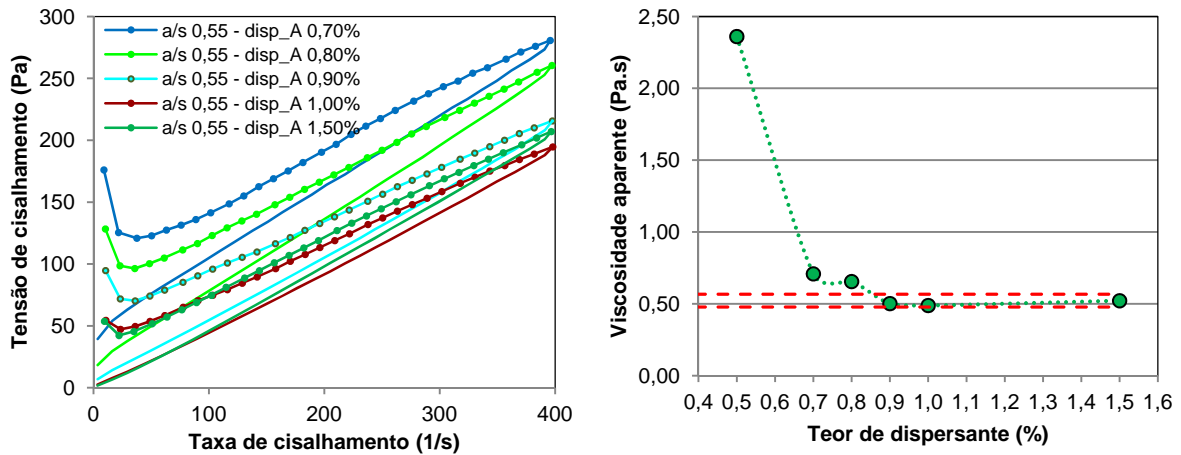


Figura 12 – a) taxa de cisalhamento *versus* tensão de cisalhamento das pastas de Microfiller Si; b) teor de dispersante *versus* viscosidade das pastas de Microfiller Si, relação $a/s=0,55$.

Curvas reológicas para determinação do teor mínimo de água de pastas em dispersão

total – item 5.3.4 – Figuras 13 a 17.

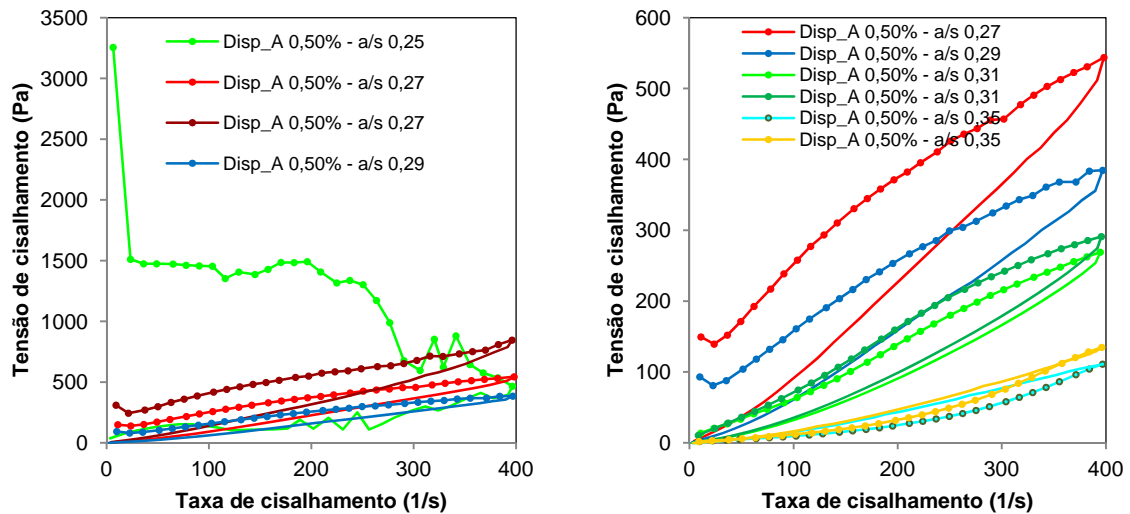


Figura 13 – Taxa de cisalhamento *versus* tensão de cisalhamento das pastas de CPV1 com teor de dispersante fixo (ótimo) e variação do teor de água, divididos em 2 gráficos para melhor visualização de acordo com a escala de tensão de cisalhamento. A legenda indica a relação a/s e o teor de dispersante.

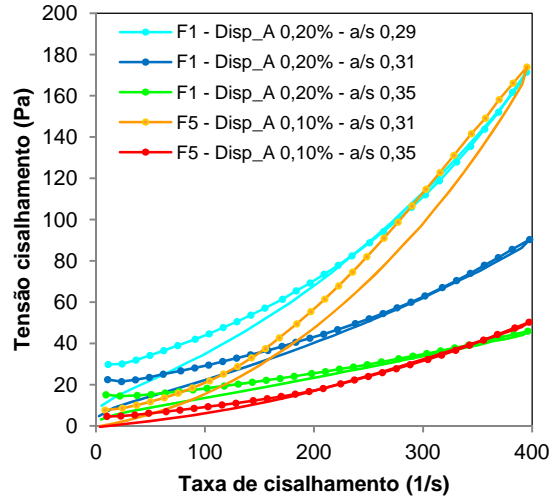


Figura 14 – Taxa de cisalhamento *versus* tensão de cisalhamento das pastas de Filler Ca1 (F1) e Filler Ca5 (F5) com teor de dispersante fixo (ótimo) e variação do teor de água.

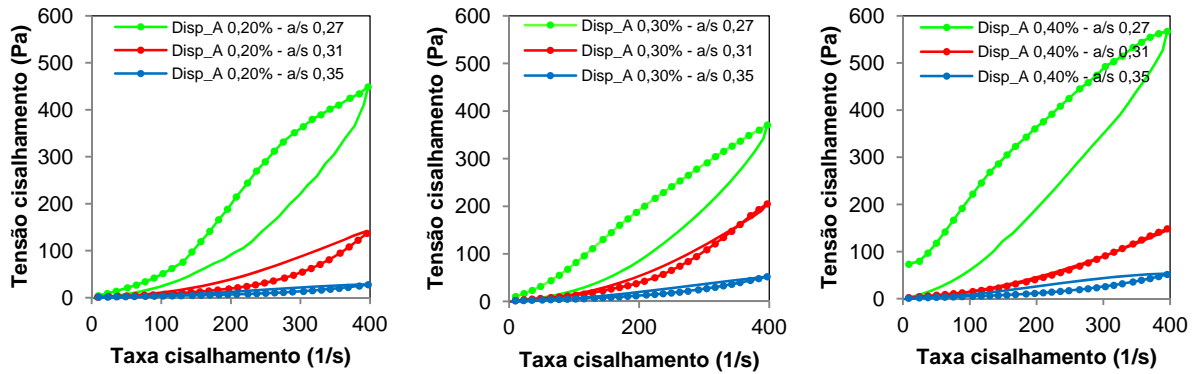


Figura 15 – Taxa de cisalhamento *versus* tensão de cisalhamento das pastas: a) 25% CPV1 + 75% Filler Ca5; b) 50% CPV1 + 50% Filler Ca5; c) 75% CPV1 + 25% Filler Ca5, com teor de dispersante fixo (ótimo) e variação do teor de água.

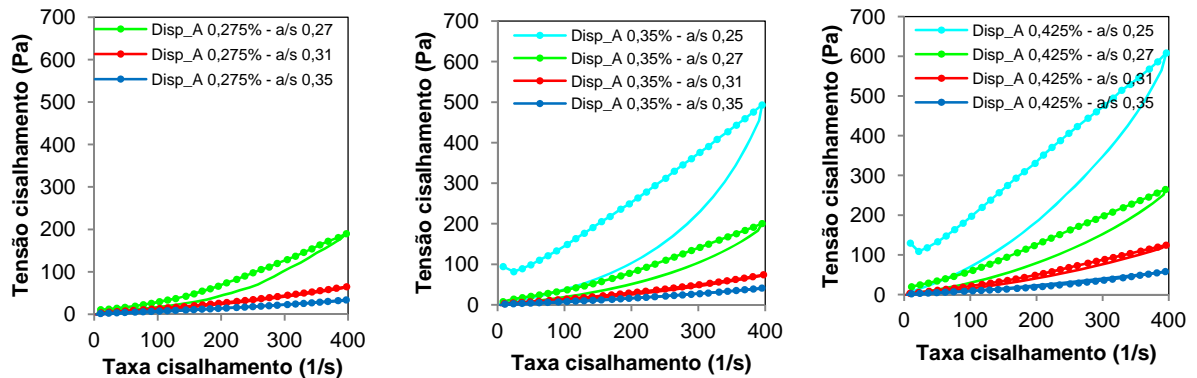


Figura 16 – Taxa de cisalhamento *versus* tensão de cisalhamento das pastas: a) 25% CPV1 + 75% Filler Ca1; b) 50% CPV1 + 50% Filler Ca1; c) 75% CPV1 + 25% Filler Ca1, com teor de dispersante fixo (ótimo) e variação do teor de água.

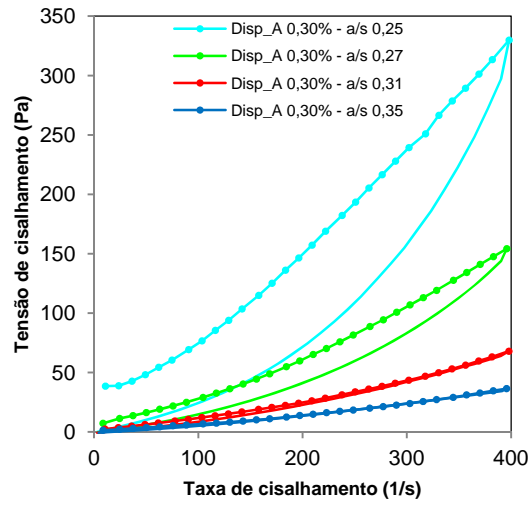


Figura 17 – Taxa de cisalhamento *versus* tensão de cisalhamento da pasta 40% CPV1 + 40% Filler Ca1 + 20% Filler Ca5, com teor de dispersante fixo (ótimo) e variação do teor de água.